

ارائه‌ی روشی ترکیبی در تخمین طیف غیرکشسان به منظور تعیین جابجایی هدف به روش N²

رضا عباس‌نیا (دانشیار)

دانشکده‌ی مهندسی عمران، دانشگاه علم و صنعت ایران

محمد‌مهدی مراح (دانشجوی دکتری)

پژوهشگاه بین‌المللی زلزله‌شناسی و مهندسی زلزله

علیرضا تاجیک داودی (دکتری)

دانشکده‌ی مهندسی عمران، دانشگاه علم و صنعت ایران

جابجایی هدف یا نقطه‌ی عملکرد سازه، یکی از ارکان اصلی روش‌های تحلیل استاتیکی غیرخطی است؛ که تغییرمکان‌ها و تلاش‌های داخلی سازه، در آن جابجایی بررسی می‌شوند. روش N² یکی از مهم‌ترین روش‌های تخمین نقطه‌ی عملکرد سازه است، که طی یک فرایند سعی و خطأ، از تقاطع منحنی ظرفیت سازه و طیف پاسخ غیرکشسان متناظر با شرایط سازه تحت زلزله، جابجایی هدف سازه را تعیین می‌کند. یکی از مهم‌ترین پارامترهای مؤثر در این روش، طیف مورد استفاده‌ی پاسخ غیرکشسانی است. این طیف به عواملی چون دوره‌ی تناوب و ظرفیت استهلاک ارزی سازه، رفتار هیسترزیس مصالح و پارامترهای زمین‌لرزه وابسته است. در این نوشتار، براساس روش‌های موجود تخمین طیف پاسخ غیرکشسان، یک روش تقریبی برای تولید این طیف برمنای شرایط خاک، نسبت شکل‌پذیری و دوره‌ی تناوب سازه ارائه شده است، که با استفاده از آن می‌توان جابجایی هدف سازه‌های منظم با ارتفاع متعارف را با تقریب مناسبی به روش N² تخمین زد.

abbasnia@just.ac.ir
m.maddah@iiees.ac.ir
a_tajik@civileng.iust.ac.ir

وازگان کلیدی: جابجایی هدف، طیف غیرکشسان، شرایط خاک، ضربه شکل‌پذیری، روش N².

۱. مقدمه

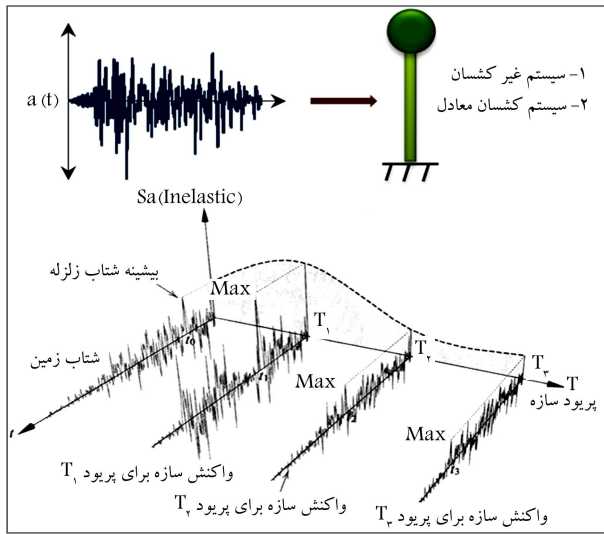
بنابراین، تعیین طیف‌های غیرکشسان یکی از مهم‌ترین پارامترهای مؤثر در این روش به شمار می‌رود. طبق پژوهش‌های صورت‌گرفته، عوامل متعددی در تعیین طیف پاسخ غیرکشسان سازه مؤثرند، که میزان تأثیر آنها در به دست آوردن طیف غیرکشسان یکسان نیست و از برخی از آنها می‌توان صرف نظر کرد.^[۱] اغلب بررسی‌های صورت‌گرفته نشان می‌دهند که با توجه به تأثیر قابل توجه نوع خاک و شرایط ساختگاهی در دامنه، محظوظ بسامدی و مدت زمان زمین‌لرزه‌ها، باید اثر نوع خاک ساختگاه را در تهیه‌ی طیف غیرکشسان در نظر گرفت.^[۲] از این رو در این مطالعه با توجه به فراوانی روش‌های ارائه شده در تخمین طیف غیرکشسان و اهمیت به سرای نوع خاک ساختگاه در رفتار غیرکشسان سازه، دقت روابط موجود بر مبنای نوع خاک ساختگاه ارزیابی و یک روش ترکیبی تابع نوع خاک، شکل‌پذیری و دوره‌ی تناوب سازه ارائه شده و در تعیین جابجایی هدف، سازه‌های منظم با ارتفاع متعارف در روش N² مورد استفاده قرار گرفته است.

تعیین تغییرمکان هدف سازه، یکی از موضوعات اساسی در روش‌های تحلیل استاتیکی غیرخطی (پوش اور)^[۳] به شمار می‌آید، که تاکنون روش‌های متعددی برای محاسبه‌ی آن ارائه شده است. در سال ۱۹۹۶ روش طیف ظرفیت (CSM)^[۴] توسط آین نامه‌ی ۴۰ ATC-۱۱ پیشنهاد شده است. این روش از تقاطع طیف ظرفیت سازه‌ی یک درجه آزادی معادل و طیف پاسخ کشسان‌کاهش‌یافته، جابجایی هدف سازه را محاسبه می‌کند. در سال ۱۹۹۷، روش ضرایب جابجایی در آین نامه‌ی Fema ۲۷۳^[۵] ارائه شده است، که در آن جابجایی حاصل از طیف پاسخ کشسان سازه با استفاده از ضرایب اصلاح و نقطه‌ی عملکرد سازه تعیین می‌شود. فرمت‌های اصلاح شده این روش در سال ۲۰۰۰ در آین نامه‌ی Fema ۳۵۶^[۶] و در سال ۲۰۰۵ در آین نامه‌ی Fema ۴۰^[۷] ارائه شده‌اند. همچنین در پژوهشی در سال ۱۹۹۹، روش N² پیشنهاد شده است.^[۸] این روش، توسعه‌یافته‌ی روش طیف ظرفیت است که به جای طیف‌های کشسان‌کاهش‌یافته، از طیف‌های پاسخ غیرکشسان برای تعیین جابجایی هدف سازه استفاده می‌کند.

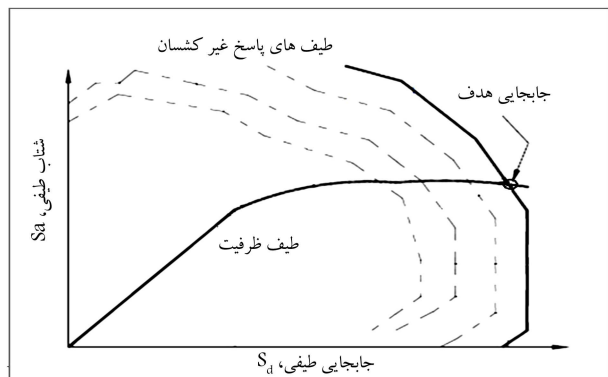
۲. روش N² در تعیین جابجایی هدف

جابجایی هدف یا نقطه‌ی عملکرد، تغییرشکل بام سازه تحت اثر زلزله طرح

* نویسنده مسئول
تاریخ: دریافت ۲۱/۷/۱۳۹۲، اصلاحیه ۲/۱، ۱۳۹۳/۲/۲۰، پذیرش ۱۳۹۳/۲/۲۰.



شکل ۲. مفهوم طیف غیرکشسان.

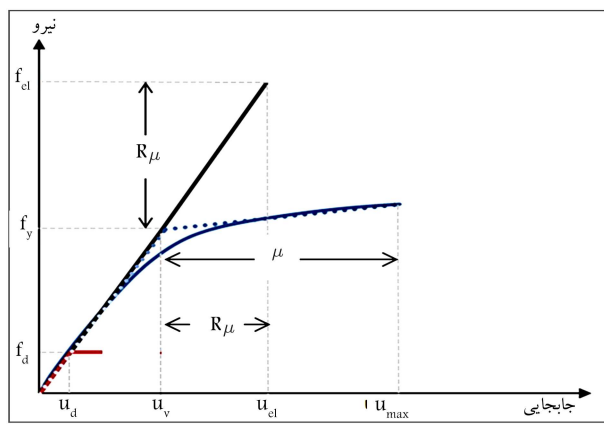


شکل ۱. روش N2

است، که نیروها، تغییرمکان‌ها و تلاش‌های داخلی سازه در آن نقطه محاسبه می‌شوند. [۱۲]

در روش N2، تغییرمکان هدف سازه یک درجه آزادی معادل، طی یک فرایند سعی و خطأ و از تقاطع طیف ظرفیت سازه یک درجه آزادی معادل (طیف نیاز) با طیف‌های غیرکشسان رکوردهای زلزله‌ای مورد نظر (طیف تقاضا)، در فرمت طیف جابجایی - شتاب (ADRS) بدست می‌آید و با ضرب آن در ضربیب تبدیل مختصات سازه‌ی چند درجه آزادی، نقطه‌ی عملکرد سازه محاسبه می‌شود (شکل ۱). [۱۲]

طیف‌های غیرکشسان، یکی از مهم‌ترین پارامترهای مؤثر در این روش محسوب می‌شوند و به دو روش تحلیلی و تقریبی قبل محاسبه‌اند. لذا امکان تولید طیف‌های غیرکشسان آین نامه‌ی استفاده از روش‌های تقریبی را توجیه پذیر می‌کند.



شکل ۳. مفهوم شکل‌پذیری و ضربیب شکل‌پذیری.

رابطه ۱ و ۲ به دست می‌آیند:

$$S_{a(\text{Inelastic})} = \frac{S_{a(\text{Elastic})}}{R_\mu} \quad (1)$$

$$S_{d(\text{Inelastic})} = \frac{S_{d(\text{Elastic})} \cdot \mu}{R_\mu} \quad (2)$$

که در آن‌ها، R_μ ضربیب شکل‌پذیری یا ضربیب کاهش نیرو نامیده می‌شود، که به دو صورت قابل تعریف است (شکل ۳): [۱۵]

۱. نسبت بیشینه‌ی جابجایی سازه‌ی کشسان معادل (u_{el}) به جابجایی تسلیم سازه‌ی غیرکشسان (u_y)، که از رابطه‌ی ۳ به دست می‌آید:

$$R_\mu = \frac{u_{el}}{u_y} \quad (3)$$

۲. نسبت بیشینه‌ی نیروی سازه‌ی کشسان معادل (f_{el}) به نیروی تسلیم سازه‌ی غیرکشسان (f_y)، که از رابطه‌ی ۴ به دست می‌آید:

$$R_\mu = \frac{f_{el}}{f_y} \quad (4)$$

که در آن‌ها، شکل‌پذیری سازه است و عبارت از نسبت بیشینه‌ی جابجایی (u_{max}) به جابجایی تسلیم سازه (u_y) است (شکل ۳)، که از رابطه‌ی

۳. مفهوم و روش‌های تهیه‌ی طیف پاسخ غیرکشسان

طیف پاسخ غیرکشسان به دو صورت قابل تعریف است (شکل ۲): [۱۴]

۱. مکان هندسی بیشینه‌ی پاسخ دینامیکی سیستم‌های یک درجه آزادی غیرکشسان، در محدوده‌ی معین از دوره‌های تناوب تحت یک حرکت پایه و شکل‌پذیری مشخص. رفتار غیرکشسان سیستم یک درجه آزادی در این حالت با درنظرگرفتن انواع حلقه‌های هیسترزیس اعمال می‌شود.

۲. مکان هندسی بیشینه‌ی پاسخ دینامیکی سیستم‌های یک درجه آزادی کشسان معادل در محدوده‌ی معین از دوره‌های تناوب تحت یک حرکت پایه و شکل‌پذیری مشخص. مشخصات سیستم کشسان معادل با دو پارامتر دوره‌ی تناوب و میرایی معادل (T_E, ε_E) تعریف می‌شود، که در مراجع، روابط مختلفی برای آنها ارائه شده است.

برای تهیه‌ی طیف غیرکشسان نیز دو راهکار کلی وجود دارد:

الف) روش تحلیلی: در این روش بر مبنای تعاریف مذکور سیستم یک درجه آزادی غیرکشسان یا کشسان معادل تحت یک شتاب نگاشت معین قرار گرفته و با انجام تحلیل دینامیکی تاریخچه‌ی زمانی، پاسخ سیستم با شکل‌پذیری مشخص در بازه‌ی از دوره‌های تناوب به دست می‌آید. نقطه ضعف مهم این روش، عدم امکان تهیه‌ی طیف‌های غیرکشسان آین نامه‌ی است.

ب) روش تقریبی: در این روش، طیف‌های غیرکشسان شتاب و جابجایی از طریق

۵. ویدیک و همکاران (روابط ۱۴ الی ۱۶):

$$R_\mu = \begin{cases} (\mu - 1) \left(\frac{T}{T_c} \right) + 1; & T \leq T_c \\ \mu; & T > T_c \end{cases} \quad (14)$$

$$\mu = \frac{u_{\max}}{u_y} \quad (5)$$

$$T_c = 0.85 T_{c\mu} \quad (15)$$

$$T_c = 0.6 \pi \frac{PGV}{PGA} \quad (16)$$

که در آن، PGA بیشینه شتاب زمین در طول زلزله است.

۶. روجا و همکاران (روابط ۱۷ و ۱۸):

$$R_\mu = 1 + (\mu - 1) \left(\frac{D(T)}{PGD} \right)^{\xi(\mu)} \quad (17)$$

$$\xi(\mu) = 0.388(\mu - 1)^{0.172} \quad (18)$$

در رابطه‌ی ۱۷، $D(T)$ جابجایی طیفی کشسان در دوره‌ی تناوب متناظر است.

۷. بازان و همکاران (رابطه‌ی ۱۹):

$$R_\mu = \mu^{0.5T^{1/5}e^{-1/\delta}} \quad (19)$$

۸. برونو و همکاران (رابطه‌ی ۲۰):

$$R_\mu = \mu \left(1 + \left(\frac{1}{\mu} - 1 \right) e^{-c_1 T \mu^{-1/\lambda}} \right) \quad (20)$$

که در آن، مقدار ضریب C_1 برای خاک‌های نوع A و B برابر ۱۲، برای خاک C برابر ۸ و در خاک D برابر ۶ است.

۹. کاپوس و همکاران (رابطه‌ی ۲۱ و جدول ۱):

$$R_\mu = \frac{1}{F + \frac{G}{\mu} + H(\ln T)^\gamma} \quad (21)$$

۴. ارزیابی روش‌های تقریبی تهیه‌ی طیف غیرکشسان

۱. روش‌های تهیه‌ی طیف غیرکشسان مورد مطالعه

در این نوشتار، ۹ روش تخمین طیف غیرکشسان مورد مطالعه قرار گرفته است، که در ادامه به جزئیات آنها اشاره شده است:

۱. نیومارک و همکاران (رابطه‌ی ۶):

$$R_\mu = \begin{cases} 1 & ; T \leq 0.3^S \\ \sqrt{2\mu - 1} & ; 0.12^S < T \leq 0.5^S \\ \mu & ; T > 0.5^S \end{cases} \quad (6)$$

۲. ریدل و همکاران (رابطه‌ی ۷):

$$R_\mu = \begin{cases} 1 + (R^* - 1) \left(\frac{T}{T^*} \right) & ; T \leq T^* \\ R^* & ; T > T^* \end{cases} \quad (7)$$

برای شکل‌پذیری‌های ۲، ۴ و ۸، مقدار R^* به ترتیب برابر ۲، ۴ و ۶/۸ و ضریب T^* برابر $1/10$ ، $0/3$ و $0/4$ است.

۳. میراندا و همکاران (رابطه‌ی ۸):

$$R_\mu = \frac{\mu - 1}{\Phi} + 1 \quad (8)$$

بستر سنگی (رابطه‌ی ۹):

$$\Phi = 1 + \frac{1}{T(10 - \mu)} - \frac{1}{2T} \exp \left[-1.5(\ln T - 0.6)^2 \right] \quad (9)$$

بستر آبرفتی (رابطه‌ی ۱۰):

$$\Phi = 1 + \frac{1}{T(12 - \mu)} - \frac{1}{5T} \exp \left[-2(\ln T - 0.2)^2 \right] \quad (10)$$

بستر نرم (رابطه‌ی ۱۱):

$$\Phi = 1 + \frac{T_g}{3T} - \frac{3T_g}{4T} \exp \left[-3 \left(\ln \frac{T}{3T_g} - 0.25 \right)^2 \right] \quad (11)$$

که در آن، T_g دوره‌ی تناوب متناظر با بیشینه سرعت زمین در طول زلزله (PGV) است.

۴. کراوینکلر و همکاران (روابط ۱۲ و ۱۳):

$$R_\mu = [c(\mu - 1) + 1]^{\frac{1}{c}} \quad (12)$$

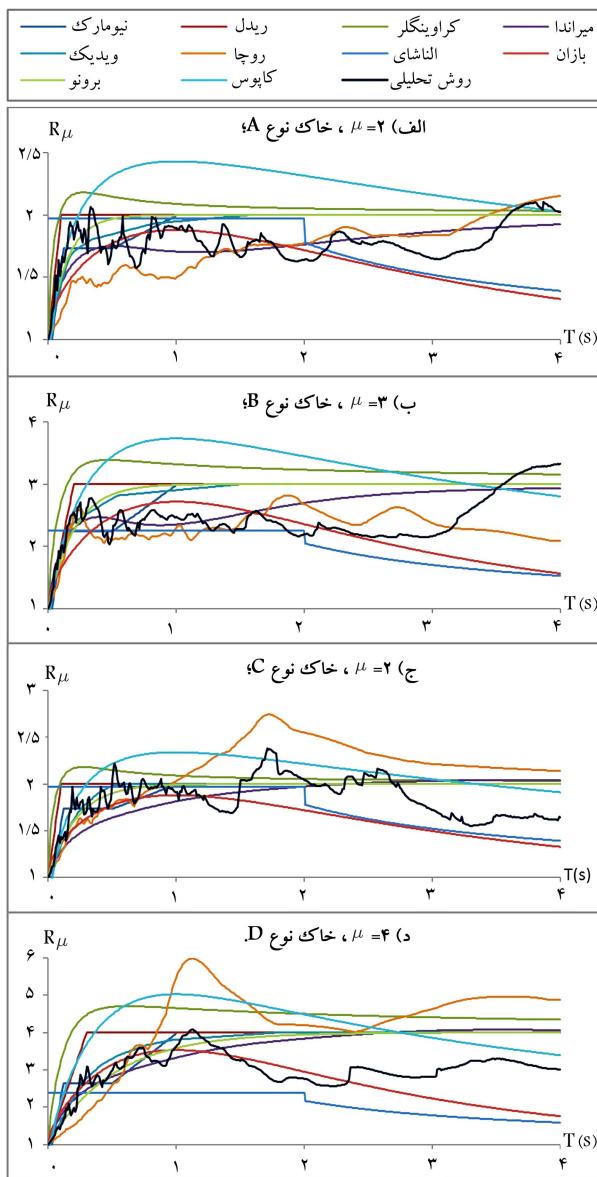
$$c = \frac{T^{1/\lambda}}{1 + T^{1/\lambda}} + \frac{0.29}{T} \quad (13)$$

۴. ارزیابی دقت روش‌های تقریبی تهیه‌ی طیف غیرکشسان

به منظور ارزیابی روش‌های مذکور، ابتدا به روش تحلیلی و با استفاده از نرم‌افزار SeismoSignal^[۲۱]، طیف‌های غیرکشسان هر رکورد برای شکل‌پذیری‌های شده‌اند.

جدول ۱. پارامترهای روش کاپوس و همکاران.

H	G	F	ساختگاه
۰.۰۴۲۶	۰.۹۵۶۱	-۰.۰۶۶۸	A
۰.۰۴۶۳	۰.۹۱۵۳	-۰.۰۳۷۳	B
۰.۰۴۹۹	۰.۹۱۴۴	-۰.۰۲۹۷	C



شکل ۴. مقادیر R_μ .

جدول ۳. مقادیر انحراف معیار روش‌ها در خاک نوع A.

روش	$T > 0,4$	$T \leq 0,4$	کلیه دوره‌های تناوب
نیومارک	۰,۶۴	۰,۶۹	۰,۲۰
ریدل	۰,۷۱	۰,۷۶	۰,۲۲
کراوینکلر	۱,۰۰	۱,۰۵	۰,۵۳
میراندا	۰,۳۲	۰,۳۴	۰,۱۶
ویدیک	۰,۶۴	۰,۶۹	۰,۱۸
روچا	۰,۴۶	۰,۴۶	۰,۳۹
بازان	۰,۴۴	۰,۴۶	۰,۲۵
برونو	۰,۶۸	۰,۷۴	۰,۱۹
کاپوس	۱,۳۶	۱,۴۷	۰,۳۰

جدول ۲. رکوردهای مورد استفاده در ارزیابی روش‌ها.

حک	ایستگاه	زلزله	نام
A	۱۲۷ Lake Hughes	Northridge	۱
A	۲۴ Lucerne	Landers	۲
A	Gebze	Kocaeli	۳
A	۸۹۰۰۵ Cape Mend	Cape Mendocino	۴
A	۱۲۷ Lake Hughes	San Fernando	۵
A	۴۷۳۷۹ Gilroy	Morgan Hill	۶
A	۱۰۶ Lamont	Duzce	۷
B	۴۷۱۸۹ SAGO South	Hollister	۸
B	۱۲۱۸ Puerta	Landers	۹
B	Mecidiyekoy	Kocaeli	۱۰
B	۸۹۵۳۰ Shelter Cove	Cape Mendocino	۱۱
B	۲۴۲۷۸ Castaic	San Fernando	۱۲
B	۵۷۳۸۳ Gilroy	Morgan Hill	۱۳
B	Arcelik	Duzce	۱۴
C	۹۰۰۶۳ Glendale	Northridge	۱۵
C	۹۰۰۶۳ Glendale	Landers	۱۶
C	۱۰۱ Cholame	Parkfield	۱۷
C	۶۶۱۹ SAHOP	Imperial Valley	۱۸
C	۹۹۴ Gormon	San Fernando	۱۹
C	۵۷۱۹۱ Halls Valley	Morgan Hill	۲۰
C	۵۷۱۹۱ Halls Valley	Loma Prieta	۲۱
D	۵۰۶۲ Salton Sea	Westmorland	۲۲
D	۹۰۰۱۱ Montebello	Northridge	۲۳
D	۱۱۸ TCU	Chi-Chi	۲۴
D	۱۰۰۲ APEEL ۲	Loma Prieta	۲۵
D	۵۰۵۷ El Centro	Imperial Valley	۲۶
D	۵۰۶۲ Salton Sea	Superstition Hills	۲۷
D	۵۸۱۱۷ Treasure	Loma Prieta	۲۸

سپس ضرایب شکل‌پذیری با استفاده از روش‌های مشروح در بخش ۱.۴ به دست آمده و میران خطا های هر یک از آن روش‌ها، از طریق مقایسه با R_μ حاصل از روش تحلیلی محاسبه شده است. در این مطالعه، برای محاسبه خطا از فرمول انحراف معیار (رابطه‌ی ۲۲) استفاده شده است:

$$Error = \frac{1}{n} \sqrt{\sum_{i=1}^n \left(\frac{R_\mu^i(\text{approximate}) - R_\mu^i(\text{analytical})}{R_\mu^i(\text{analytical})} \right)^2} \quad (22)$$

که در آن، $R_\mu^i(\text{approximate})$ ضریب شکل‌پذیری تقریبی و $R_\mu^i(\text{analytical})$ مقدار دقیق این ضریب است. برای نمونه در نمودارهای شکل ۴، ضرایب شکل‌پذیری به دست آمده از روش‌های مختلف برای ۴ نوع خاک و مقادیر مختلف شکل‌پذیری نشان داده شده است. در جداول ۳ الی ۶ نیز مقادیر انحراف معیار در تخمین این ضریب برای هر نوع خاک در دوره‌های تناوب مختلف ارائه شده است. مبنای تقسیم‌بندی دوره‌های تناوب، مرزین دوری تناوب سازه‌های نرم و صلب در آین نامه ۲۸۰۰ است.

- خاک نوع B: روش روچا و همکاران (رابطه‌ی ۲۴):

$$R_\mu = 1 + (\mu - 1) \left(\frac{D(T)}{PGD} \right)^{0.88(\mu-1)^{0.17}} \quad (24)$$

- خاک نوع C: روش برونو و همکاران برای خاک نوع C (رابطه‌ی ۲۵):

$$R_\mu = \mu \left(1 + \left(\frac{1}{\mu} - 1 \right) e^{-kT\mu^{-0.8}} \right) \quad (25)$$

- خاک نوع D: روش برونو و همکاران برای خاک نوع D (رابطه‌ی ۲۶):

$$R_\mu = \mu \left(1 + \left(\frac{1}{\mu} - 1 \right) e^{-kT\mu^{-0.8}} \right) \quad (26)$$

۶. ارزیابی روش پیشنهادی در تخمین جابجایی هدف

به منظور ارزیابی روش پیشنهادی، میران دقت آن در تخمین جابجایی هدف سازه‌ی یک درجه‌ی آزادی معادل سه مدل ۹، ۱۰ و ۲۰ طبقه‌ی بتن آزموده برای رکورد از ۴ نوع خاک (جدول ۷) در مقایسه با روش ضرایب جابجایی آین نامه‌ی Fema ۴۴۰ و بر مبنای نتایج روش تاریخچه‌ی زمانی غیرخطی (NTHA) مورد بررسی قرار گرفته‌اند. رکوردهای مورد استفاده با روش Fema ۴۴۰ به‌گونه‌ی مقیاس شده‌اند، که مقادیر طیف کشسان شتاب آنها در دوره‌ی تناوب حاکم سازه‌ی مورد بررسی، با مقدار طیف آین نامه‌ی ۸۰۰ با ۲۸۰۰ با لرزه‌خیزی زیاد (A = ۰/۳۵) برابر شود. برای نمونه در شکل ۵، نحوه‌ی مقیاس‌کردن رکوردهای خاک نوع A برای مدل ۹ طبقه‌ی ارائه شده‌اند.

در این مطالعه از مدل‌های سازه‌ی ارائه شده در نوشتار عباس‌نیا و همکاران، [۲۱] استفاده شده است، که جزئیات آن در جدول ۸ و شکل ۶ ارائه شده است. در سازه‌های مذکور، برگزاری لرزه‌ی طبق آین نامه‌ی ۷-۰۵ ASCE [۲۲] برای خاک نوع C، قاب خمشی بتنی و پیزه با ضریب رفتار ۸ R = و ضریب اهمیت ۱ انجام شده و طراحی و جزئیات آرماتورگذاری بر مبنای آین نامه‌ی ۳۱۸-۰۵ ACI [۲۳] با

جدول ۷. رکوردهای مورد استفاده در بررسی جابجایی هدف.

خاک	ایستگاه	زلزله	
A	۸۹۰۰۵ CDMG Station	Cape Mendocino	۱
A	Pacoima Dam	Northridge	۲
A	Lucerne	Landers	۳
B	TCU ۸۴	Chi-Chi	۴
B	۲۰۴۶, KJM	Kobe	۵
B	Castlic Old Ridge	Northridge	۶
C	۸۹۵۳ Petrolia	Cape Mendocino	۷
C	Erzinkan	Erzinkan	۸
C	Elcentro Array #۹	Imperial Valley	۹
D	Takzrazu	Kobe	۱۰
D	Ambarli	Kocaeli	۱۱
D	Apée ۱۲ Redwood City	Loma Prieta	۱۲

جدول ۴. مقادیر انحراف معیار روش‌ها در خاک نوع B.

روش	$T > ۰,۵$	$T \leq ۰,۵$	کلیه‌ی دوره‌های تناوب
نیومارک	۰/۷۲	۰/۷۷	۰/۱۹
ریدل	۰/۸۳	۰/۸۸	۰/۳۸
کراوینکار	۱/۱۱	۱/۱۶	۰/۷۲
میراندا	۰/۶۰	۰/۶۴	۰/۲۰
ویدیک	۰/۷۷	۰/۸۳	۰/۲۱
روچا	۰/۳۴	۰/۳۶	۰/۱۷
بازان	۰/۴۰	۰/۴۱	۰/۲۵
برونو	۰/۷۹	۰/۸۵	۰/۲۲
کاپوس	۱/۰۶	۱/۱۳	۰/۴۱

جدول ۵. مقادیر انحراف معیار روش‌ها در خاک نوع C.

روش	$T > ۰,۷$	$T \leq ۰,۷$	کلیه‌ی دوره‌های تناوب
نیومارک	۰/۵۲	۰/۵۵	۰/۲۵
ریدل	۰/۵۵	۰/۵۶	۰/۴۶
کراوینکار	۰/۷۸	۰/۷۶	۰/۸۸
میراندا	۰/۵۹	۰/۶۱	۰/۴۱
ویدیک	۰/۵۳	۰/۵۶	۰/۲۳
روچا	۱/۰۳	۱/۱۳	۰/۲۰
بازان	۰/۴۷	۰/۵۰	۰/۲۰
برونو	۰/۳۵	۰/۳۷	۰/۱۷
کاپوس	۰/۷۲	۰/۷۵	۰/۴۵

جدول ۶. مقادیر انحراف معیار روش‌ها در خاک نوع D.

روش	$T > ۱,۰$	$T \leq ۱,۰$	کلیه‌ی دوره‌های تناوب
نیومارک	۰/۵۷	۰/۶۰	۰/۳۸
ریدل	۰/۶۰	۰/۶۰	۰/۶۸
کراوینکار	۰/۸۴	۰/۸۰	۱/۱۸
میراندا	۰/۵۳	۰/۵۶	۰/۲۹
ویدیک	۰/۵۵	۰/۵۹	۰/۲۱
روچا	۰/۹۰	۰/۹۵	۰/۴۹
بازان	۰/۵۸	۰/۵۹	۰/۲۳
برونو	۰/۵۴	۰/۵۸	۰/۱۸
کاپوس	۰/۹۷	۱/۰۴	۰/۴۰

۵. ارائه‌ی روش ترکیبی

براساس نتایج جداول ۳ الی ۶ و از مقایسه‌ی مقادیر انحراف معیار روش‌های مختلف، روشی ترکیبی به صورت تابعی از نوع خاک، دوره‌ی تناوب و شکل پذیری سازه به‌منظور تعیین ضریب شکل پذیری، پیشنهاد شده است، و در روش N۲ برای تعیین جابجایی هدف سازه‌ی یک درجه‌ی آزادی معادل مورد استفاده قرار گرفته است:

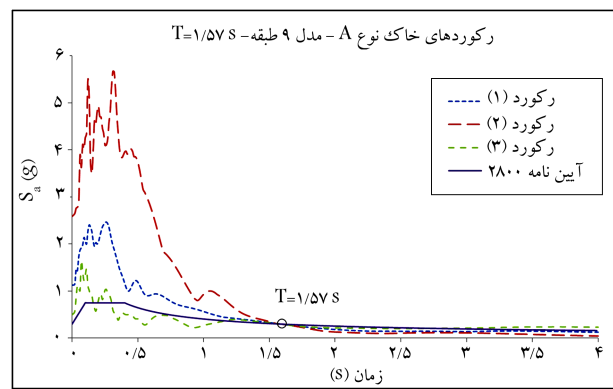
- خاک نوع A: روش میراندا و همکاران برای بستر سنگی (رابطه‌ی ۲۳):

$$R_\mu = \frac{\mu - 1}{1 + \frac{1}{T(1-\mu)} - \frac{1}{\sqrt{T}} \exp \left[-1/5 (\ln T - 0.6) \right]} + 1 \quad (23)$$

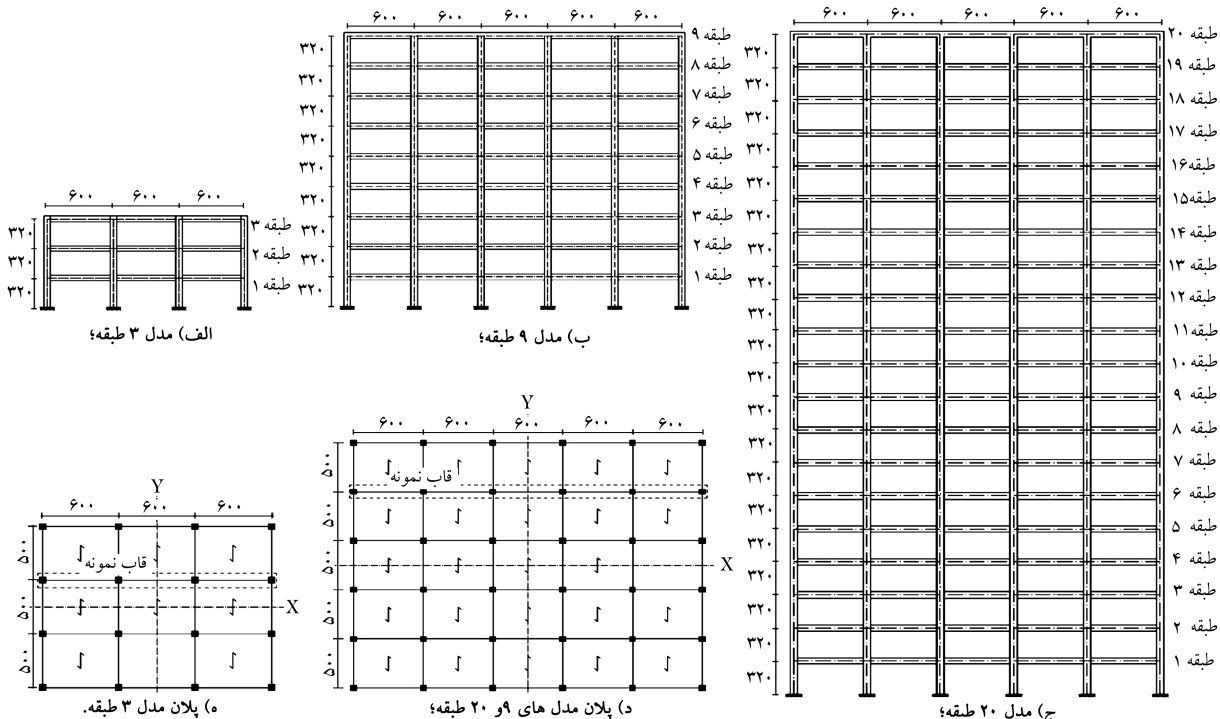
فرض 25 MPa و 400 MPa برای مقاومت مشخصه‌ی بتن و فولاد و بار مرده و زنده‌ی 6 kN/m^2 و 2 kN/m^3 برای تمامی طبقات صورت گرفته است.

۱.۶. ارزیابی لرزه‌یی و تهیه‌ی طیف ظرفیت سازه‌ها

با توجه به منظم بودن این سازه‌ها درپلان و ارتفاع، یک قاب نمونه درجهت X انتخاب و در نرم افزار OpenSees [۲۵] مورد تحلیل و بررسی قرار گرفته است. در نرم افزار ذکر شده، Displacement- Beam-Column Element و ستون‌ها توسط المان Concrete Based Fiber Section مدل شده‌اند. مدل سازی فولاد و مقاطع چندلایه‌یی Based می‌شوند. مودهای مخصوص در کتابخانه‌ی OpenSees موجود در کتابخانه‌ی Mander (شکل ۷) و اثر مخصوص شدگی آزمایش‌های برشی با استفاده از روابط منظور شده است. [۲۶] دروزن مؤثر لرزه‌یی نیز فقط اثرات بار مرده لحاظ شده است.



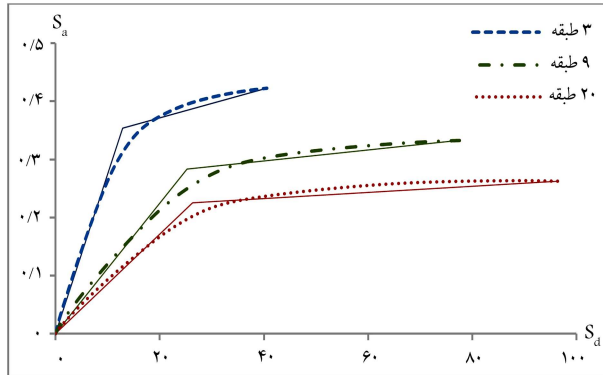
شکل ۵. نمونه‌یی از روش همپایه‌کردن رکوردها.



شکل ۶. مدل‌های مورد استفاده. [۲۲]

جدول ۸. جزئیات مدل‌ها.

ستون بعضی ابعاد	R	تیر		تراز طبقه	مدل
		بعضی ابعاد	R^+		
45×45	$16\Phi 22$	40×30	$2\Phi 22$	$5\Phi 22$	۱-۳ طبقه ۳ $T_1 = 0,78 \text{ s}$
65×65	$22\Phi 25$	55×45	$5\Phi 25$	$7\Phi 25$	۱-۳
60×60	$16\Phi 25$	50×40	$5\Phi 25$	$7\Phi 25$	۴-۶ طبقه ۹ $T_1 = 1,07 \text{ s}$
55×55	$16\Phi 20$	45×35	$5\Phi 20$	$7\Phi 20$	۷-۹
80×80	$28\Phi 30$	65×55	$7\Phi 30$	$9\Phi 30$	۱-۳
70×70	$22\Phi 30$	60×50	$7\Phi 30$	$9\Phi 30$	۴-۱۰ طبقه ۲۰
60×60	$22\Phi 25$	55×45	$7\Phi 25$	$9\Phi 25$	۱۱-۱۵ $T_1 = 2,78 \text{ s}$
50×50	$20\Phi 20$	50×40	$7\Phi 20$	$9\Phi 20$	۱۶-۲۰



شکل ۸. طیف ظرفیت مدل‌های مورد مطالعه برای رکورد ۵.

۲.۶. محاسبه‌ی جابجایی هدف مدل‌ها

جابجایی هدف سازه‌های یک درجه آزادی معادل مدل‌های مورد بررسی تحت هر یک از رکوردهای جدول ۷، با روش‌های NTHA^{۴۰}, Fema^{۴۰} و روشن ترکیبی پیشنهادی به دست آمده‌اند. در روش NTHA، که مقادیر دقیق جابجایی هدف را به دست می‌دهد و مبنای مقایسه‌ی روش‌هاست، طیف‌های ظرفیت دو خطی حاصل از بخش ۲.۶، به عنوان نمودارهای تنش - کرنش مصالح سازه‌های یک درجه آزادی غیرکشسان، معادل مدل‌های مورد بررسی در نظر گرفته شده‌اند. در گام بعد این سازه‌های یک درجه آزادی تحت رکوردهای زلزله قرار گرفته‌اند و پیشنهادی جابجایی آنها به دست آمده است.^[۲۷] در روش Fema^{۴۰}، برای محاسبه‌ی جابجایی هدف سازه‌ی یک درجه آزادی معادل از رابطه‌ی ۳۱ استفاده شده است:^[۱]

$$\Delta_{t SDOF} = C_1 C_2 C_3 S_d = C_1 C_2 C_3 S_a \frac{T_e^2}{4\pi^2} \quad (31)$$

که در آن، S_a شتاب طیفی و S_d جابجایی طیفی به ازاء زمان تناوب اصلی مؤثر e است. C_1 نسبت پیشنهادی جابجایی غیرکشسان با می‌باشد به جابجایی کشسان آن است، که از رابطه‌ی ۳۲ به دست می‌آید:

$$C_1 = \begin{cases} 1 + \frac{R-1}{\alpha T_e}, & C_1 \geq 1 \\ 1, & C_1 < 1 \end{cases} \quad (32)$$

که در آن، مقدار R از رابطه‌ی ۳۳ به دست می‌آید:

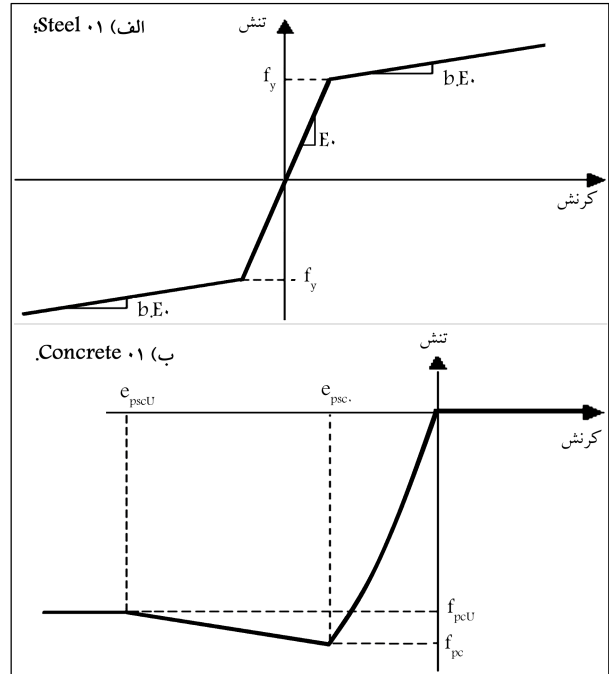
$$R = 1 + \frac{S_a}{V_y/W} C_m \quad (33)$$

که در آن، R نسبت مقاومت ارجاعی موردنیاز به مقاومت تسلیم، W وزن کل ساختمان، V_y مقاومت تسلیم ساختمان و C_m ضریب جرم مؤثر مود اول است، که مقدار آن برای سازه‌های بالای ۳ طبقه، ۹/۰ است. مقدار ضریب α نیز به ترتیب برابر ۱۳۰، ۹۰ و ۶۰ برای بسترهای نوع B, C و D است.

همچنین C_2 شاندنه‌دهی اثرات شکل چرخه‌های هیسترزیس بر روی جابجایی هدف است، که از رابطه‌ی ۳۴ محاسبه می‌شود:

$$C_2 = 1 + \frac{1}{100} \left(\frac{R-1}{T} \right)^2 \quad (34)$$

ضریب C_3 نیز به منظور درنظر گرفتن اثرات تحلیل‌های درجه‌ی دوم دینامیکی (P-Delta) است. این ضریب در سازه‌هایی که سختی مشتبی پس از تسلیم دارند، برابر ۱ در نظر گرفته می‌شود، که این حالت در مدل‌های مورد بررسی در این



شکل ۷. نمودار تنش کرنش مصالح.^[۲۵]

ارزیابی لرزه‌ی مدل‌های فوق به روش تحلیل دینامیکی غیرخطی افزایشی IDA انجام و برای تخمین طیف ظرفیت سیستم یک درجه آزادی معادل سازه از رویکرد مبتنی بر انرژی براساس کار انجام شده ناشی از حاصل ضرب توزیع بار جانبه در جابجایی انتقالی هر طبقه استفاده شده است.^[۲۶] بنابراین، افزایش جابجایی سیستم یک درجه آزادی معادل ΔD_e در هرگام تحلیل IDA مطابق رابطه‌ی ۲۷ قابل محاسبه است:

$$\Delta D_e^{(i)} = \Delta E^{(i)} / V_b^{(i)} \quad (27)$$

که در آن $\Delta E^{(i)}$ از رابطه‌ی ۲۸ به دست می‌آید:

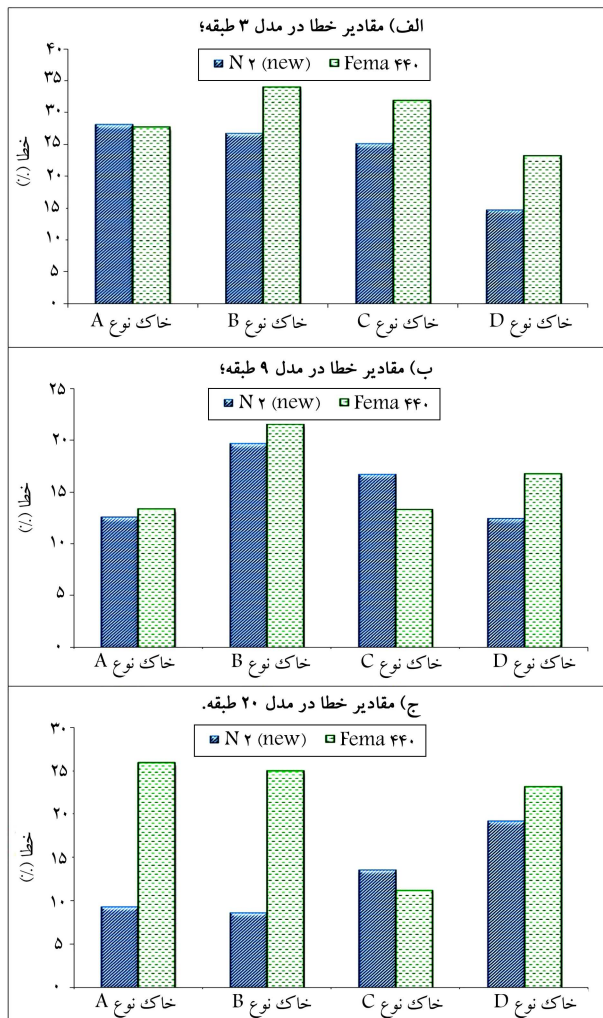
$$\Delta E^{(i)} = \Delta E_F^{(i)} = \sum_{j=1}^K F_j^{(i)} \cdot \Delta d_j^{(i)} \quad (28)$$

همچنین مقادیر جابجایی طیفی $S_d^{(i)}$ و شتاب طیفی $S_a^{(i)}$ (محورهای منحنی طرفیت سیستم یک درجه‌ی آزادی معادل در فرم ADRS) در هرگام با استفاده از روابط ۲۹ و ۳۰ محاسبه می‌شوند:

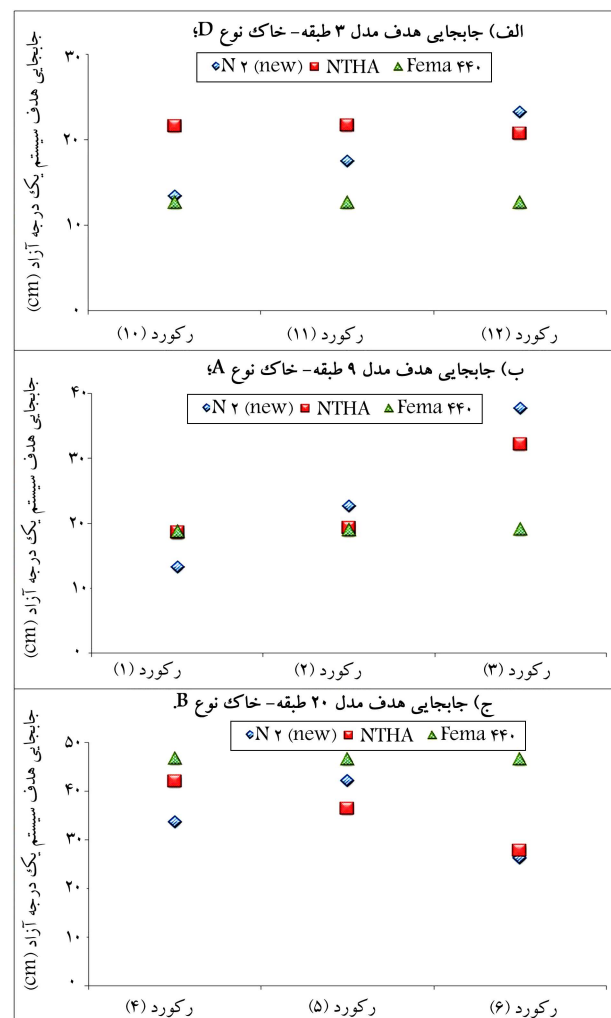
$$S_d^{(i)} = \sum \Delta D_e = \sum \left[\sum_{j=1}^K (F_j^{(i)} \cdot \Delta d_j^{(i)}) / \sum_{j=1}^K F_j^{(i)} \right] \quad (29)$$

$$S_a^{(i)} = \frac{V_b}{W} \quad (30)$$

که در آن، V_b برش پایه در گام زام و $\Delta E^{(i)}$ تغییرات انرژی حاصل از کار انجام شده توسط نیروهای جانبه طبقات، $F_j^{(i)}$ پیشنهادی نیروی جانبه متناظر طبقه‌ی زام در گام زام، $\Delta d_j^{(i)}$ پیشنهادی جابجایی انتقالی طبقه‌ی زام در گام زام و K تعداد طبقات سازه هستند. در گام بعد، طیف‌های ظرفیت حاصل به روش FEMA^{۴۰} دو خطی می‌شوند. برای نمونه در شکل ۸، طیف ظرفیت مدل‌ها برای رکورد Erzinkan (رکورد ۵) نشان داده شده است.



شکل ۱۰. مقایسه مقدار خطا در روش پیشنهادی و Fema ۴۴۰.



شکل ۹. مقادیر جابجایی هدف.

نوشتار نیز صدق می‌کند. جابجایی هدف به روش پیشنهادی نیز از روش N 2 با استفاده از روش‌های تخمین طیف غیرکشسان ارائه شده در بخش ۵ محاسبه شده‌اند.

در شکل ۹، چند نمونه از نتایج به دست آمده برای جابجایی هدف سازه‌ی یک درجه آزادی معادل به روش‌های مذکور ارائه شده است. نمودارهای شکل ۱۰ نیز میزان خطای هر یک از دو روش N 2 و Fema ۴۴۰ را براساس نوع خاک ساختگاه نشان می‌دهند. همان‌گونه که مشاهده می‌شود، روش پیشنهادی دقت خوبی در تخمین جابجایی هدف مدل‌های منظم ۳ و ۲۰ طبقه مورد بررسی دارد. این امر نشان می‌دهد که روش تکنیکی پیشنهادی در این نوشتار برای تهیه‌ی طیف غیرکشسان، دقت مناسبی دارد.

۷. نتیجه‌گیری

در این نوشتار با ارزیابی دقت روش‌های تولید طیف غیرکشسان، روشی تکنیکی ارائه شده است که با استفاده از آن می‌توان برآسانس نوع خاک، دوره‌ی تناوب و شکل‌بندیری، طیف غیرکشسان را از روی طیف کشسان آینه‌نامه یا طیف طراحی به دست آورد و در تعیین جابجایی هدف سازه‌های منظم با ارقاع متعارف به روش N 2 مورد استفاده قرار داد.

نتایج این مطالعه نشان می‌دهند که با درنظرگرفتن نوع خاک ساختگاه در انتخاب روش تخمین طیف غیرکشسان، روش N 2 تخمین مناسبی از مقدار جابجایی هدف دست می‌دهد.

پانوشت‌ها

- Pushover
- Capacity Spectrum Method

منابع (References)

- ATC, *Seismic Evaluation and Retrofit of Concrete Buildings*, I, ATC 40, Applied Technology Council, Redwood City (1996).

2. FEMA, NEHRP Guidelines for the Seismic Rehabilitation of Buildings, *FEMA 273, and NEHRP Commentary on the Guidelines for the Seismic Rehabilitation of Buildings*, FEMA 274, Federal Emergency Management Agency, Washington, D.C. (1997).
3. FEMA, *Prestandard and Commentary for the Seismic Rehabilitation of Buildings*, FEMA 356, Federal Emergency Management Agency, Washington, D.C. (2000).
4. FEMA, *Improvement of Nonlinear Static Seismic Analysis Procedures*, (ATC-55 Project) FEMA 440, Federal Emergency Management Agency, Washington, D.C. (2005).
5. Fajfar, P. and Gaspersic, P. "The N2 method for the seismic damage analysis of RC buildings", *Earthquake Engineering and Structural Dynamics*, **25**, pp. 31-46 (1998).
6. Miranda, E. "Site-dependent strength reduction factors", *Journal of Structure Engineering, ASCE*, **119**(12), pp. 3503-3519 (1993).
7. Vidic, T., Fajfar, P. and Fischinger, M. "Consistent inelastic design spectra: Strength and displacement", *Journal of Earthquake Engineering and Structural Dynamics*, **23**, pp. 507-521 (1994).
8. Ordaz, M. and Pe'rez-Rocha, L.E. "Estimation of strength-reduction factors for elasto-plastic systems: New approach", *Journal of Earthquake Engineering and Structural Dynamics*, **27**, pp. 889-901 (1998).
9. Jarenprasert, S., Bazan, E. and Bielak, J. "Inelastic spectrum-based approach for seismic design spectra", *Journal of Structure Engineering, ASCE*, **132**(8), pp. 1284-92 (2006).
10. Mollaiali, F. and Bruno, S. "Influence of site effects on inelastic displacement ratios for SDOF and MDOF systems", *Computers and Mathematics with Applications Journal*, **55**, pp. 184-207 (2008).
11. Riddell, R., Hidalgo, P. and Cruz, E. "Response modification factors for earthquake resistant design of short period structures", *Journal of Earthquake Spectra*, **5**(3), pp. 571-590 (1989).
12. Maddah, M.M. "Investigation of methods for preparation of inelastic response spectra", MSc Seminar, Science and Technology University of Iran (2011).
13. Zahedifar, S. "Adaptive modal pushover with considering the modal interaction", MSc thesis, Science and Technology University of Iran (2010).
14. Tabeshpour, M.R. and Ibrahamian, H., *Application Earthquake Engineering in Design and Retrofitting*, Fadak Isatis, p. 320 (2009).
15. Newmark, N.M. and Hall, W.J. "Seismic design criteria for nuclear reactor facilities", Building Practices for Disaster Mitigation, Rep. No. 46, Nat. Bureau of Standards, U.S. Department of Commerce, pp. 209-236 (1973).
16. Azhari, M. and Mirghaderi, R. "Structural steel design (seismic desing issues)", 4, Tehran, p. 100 (2011).
17. Nassar, A.A. and Krawinkler, H. "Seismic demands for SDOF and MDOF systems", John A. Blume Earthquake Engineering Center Report No. 95, Department of Civil Engineering, Stanford University (1991).
18. Athanassiadou, C.J., Karakostas, C.Z., Margaris, B.N. and Kappos, A.J. "Displacement spectra and displacement modification factors, based on records from Greece", *Journal of Soil Dynamics and Earthquake Engineering*, **31**(12), pp. 1640-1653 (2011).
19. U.S. Geological Survey, Available from URL: (<http://www.seismosoft.com>).
20. Permanent Committee for Revising the Iranian Code of Practice for Seismic Resistant Design of Buildings, *Iranian Code of Practice for Seismic Resistant Design of Buildings (Standard No.2800)*, 3rd edition, Building and Housing Research Center, Tehran (2005).
21. SeismoSoft, SeismoSignal, A Computer Program for Signal Processing of Strong-Motion Data, Available from URL: (<http://earthquake.usgs.gov/earthquakes/>) (2010).
22. Abbasnia, R., Tajik Davoudi, A. and Maddah, M.M. "An adaptive pushover procedure based on effective modal mass combination rule", *Journal of Engineering Structures*, **52**, pp. 654-666 (July 2013).
23. American Society of Civil Engineers (ASCE), *Minimum Design Loads for Buildings and Other Structures*, ASCE Standard No. ASCE/SEI 7-05 (2006).
24. ACI, *Building Code Requirements for Structural Concrete with Commentary*, ACI 318, American Concrete Institute (2008).
25. OpenSees, *Open System for Earthquake Engineering Simulation*, Available from URL: (<http://opensees.berkeley.edu>) (2009).
26. Kent, D.C. and Park, R. "Flexural members with confined concrete", *Journal of the Structural Division, ASCE*, **97**(7) pp. 1969-1990 (July 1971).
27. Chopra, A.K. and Goel, R.K. "A modal pushover analysis procedure for estimating seismicdemands for buildings", *Journal of Earthquake Engineering and Structural Dynamics*, **31**(3), pp. 561-582 (2002).